吴门肾炎口服液 I 干预 miRNA-30b-3p 介导 Wnt 信号通路对阿霉素诱导 大鼠足细胞损伤的保护作用

梁国强 1,2, 陈 伟 1,2, 蒋春波 1*

¹南京中医药大学附属苏州市中医医院 江苏苏州 ²苏州市吴门医派验方评价与转化重点实验室 江苏苏州

【摘要】目的 基于 miRNA-30b-3p 介导 Wnt 信号通路研究吴门肾炎口服液 I 对阿霉素诱导大鼠足细胞损伤的保护作用。方法 建立阿霉素肾足细胞损伤的大鼠模型,采用生化法、电镜学和蛋白质免疫印迹等研究方法,结合 miRNA 模拟物转染技术,通过分组干预,探讨吴门肾炎口服液 I 干预 miRNA-30b-3p 调控 Wnt/ β -catenin 信号通路进而保护足细胞的作用。结果 与模型组相比,吴门肾炎口服液 I 显著降低 24 h 蛋白尿(P < 0.01);病理学结果显示其改善阿霉素诱导大鼠足细胞损伤,减轻肾脏病理损伤,与其抑制阿霉素诱导的肾足细胞 Nephrin 和 Podocin 的蛋白表达降低(P < 0.01)相关;另外,与模型组相比,miR-30b-3p 过表达质粒注射组及肾炎口服液 I+miR-30b-3p 过表达质粒注射组的大鼠肾脏中 Wnt1、 β -catenin 的表达水平明显下调(P < 0.05 或 P < 0.01)。结论 吴门肾炎口服液 I 可能通过上调 miR-30b-3p 表达,抑制 Wnt/ β -catenin 信号通路活化,从而改善阿霉素诱导的大鼠足细胞功能障碍。

【关键词】吴门肾炎口服液 I: 大鼠足细胞损伤: Wnt/B-catenin 信号通路: miR-30b-3p

【基金项目】国家自然科学基金面上项目(编号:82074368);苏州第九批姑苏卫生重点人才项目(编号:GSWS2023015);苏州市吴门医派验方评价与转化重点实验室项目(编号:szs2024031)

【收稿日期】2024年10月22日 【出刊日期】2024年12月27日 【DOI】10.12208/j.ircm.20240054

The protective effect of Wumen Shenyan Oral Liquid I on adriamycin-induced podocyte injury in rats by interfering with miRNA-30b-3p-mediated Wnt signaling pathway

Guoqiang Liang^{1,2}, Wei Chen^{1,2}, Chunbo Jiang^{1*}

¹Suzhou Hospital of Chinese Medicine Affiliated to Nanjing University of Chinese Medicine, Suzhou Jiangsu ²Suzhou Wumen Medical School Key Laboratory of Prescription Evaluation and Transformatio, Suzhou Jiangsu

[Abstract] Objective The protective effect of Wumen Shenyan Oral Liquid I on adriamycin-induced podocyte injury in rats was studied based on the miRNA-30b-3p-mediated Wnt signaling pathway. **Methods** The rat model of adriamycin-induced renal podocyte injury was established. Biochemical method, electron microscopy and Western blotting were used to investigate the effect of Wumen Shenyan Oral Liquid I on miRNA-30b-3p regulating Wnt/β-catenin signaling pathway and protecting podocytes by group intervention combined with miRNA mimic transfection technology. **Results** Compared with the model group, Wumen Nephritis Oral Liquid I significantly reduced 24 h proteinuria (P< 0.01), improved podocyte injury, and reduced renal pathological damage. The protein expression of Nephrin and Podocin in renal podocytes induced by adriamycin was inhibited (P< 0.01). In addition, compared with the model group, the expression levels of Wnt1 and β-catenin in the kidneys of rats in the miR-30b-

作者简介:梁国强(1979-)男,蒙古族,辽宁喀左人,副主任中药师,硕士研究生导师,研究方向:中医经方、名方及吴门医派时方、验方药效物质基础及其配伍规律研究;

^{*}通讯作者:蒋春波(1983-)男,汉族,江苏张家港人,主任中医师,硕士研究生导师,博士,研究方向:中西医结合肾脏疾病的基础与临床研究。

3p overexpression plasmid injection group and the nephritis oral liquid I + miR-30b-3p overexpression plasmid injection group were significantly down-regulated (P< 0.05 or P< 0.01). **Conclusion** Wumen Shenyan Oral Liquid I may improve adriamycin-induced podocyte dysfunction in rats by up-regulating the expression of miR-30b-3p and inhibiting Wnt / β -catenin signaling pathway.

Keywords Wumen Shenyan Oral Liquid I; podocyte injury; Wnt/β-catenin signaling; miR-30b-3p

慢性肾脏病(Chronic Kidney Disease, CKD)是 一个日益严重的公共卫生问题,影响着全球超过10% 的成年人群,在中国,CKD患者的数量已接近2亿, 不但增加了社会负担, 还严重影响了患者和家属的 身心健康[1]。因此, 充分了解 CKD 的发病机制并开 发有效的治疗药物显得尤为迫切和关键。在肾脏损 害过程中, 肾小球滤过减少和蛋白尿常与肾脏足细 胞的损伤有关,足细胞在维持肾小球滤过屏障中, 其分子异常与蛋白尿和肾小球硬化之间存在一定的 因果关系[2]。由此,有效保护足细胞对减轻肾脏损伤 具有重要意义。Wnt/β-连环蛋白(β-Catenin)信号通 路在介导足细胞功能障碍和蛋白尿中发挥着核心作 用,过度激活此通路会诱导足细胞去分化和间充质 转化。因此,靶向 Wnt/β-catenin 信号通路的研究可 能会成为肾脏疾病的一种新的治疗策略[3]。而微小 RNA (microRNA, miRNA) 参与并调节人体的生 理病理过程, 近年研究表明其在调节肾脏发育以及 在维持肾脏结构和功能方面发挥了重要作用[4], 笔 者前期研究中发现 miR-30b-3p 可能是治疗 CKD 的 潜在靶点[5]。然而, miR-30b-3p 在肾脏疾病中发挥 保护作用的分子机制尚未完全明了。

在临床上,中药被广泛用于 CKD 的治疗,并取得了令人满意的临床疗效。吴门肾炎口服液 I 为苏州市中医医院院内制剂,治疗 CKD 疗效确切,前期研究已证实其具有保护足细胞的作用[6-9]。尽管如此,吴门肾炎口服液 I 发挥保护足细胞免受损伤的具体分子机制仍不明确。因此,笔者在本研究中,建立阿霉素肾病大鼠模型,在体内验证了吴门肾炎口服液 I 对大鼠足细胞的保护作用;并利用阿霉素诱导大鼠足细胞损伤的体外模型,探讨吴门肾炎口服液 I 对足细胞中 Wnt/β-catenin 信号通路激活的影响。此外,进一步对吴门肾炎口服液 I 的足细胞保护机制与 miR-30b-3p 表达之间的联系进行验证,初步明确了吴门肾炎口服液 I 通过 miR-30b-3p 调控 Wnt/β-catenin 信号通路保护阿霉素足细胞损伤的效应机制。

1 仪器与材料

1.1 主要仪器

MK3 酶标仪 (芬兰雷勃公司); Sorvall ST 40 离心机 (赛默飞公司); D5100 光学显微镜、H-600 透射电子显微镜、C2+共聚焦显微镜系统 (日本 Nikon 公司); Forma 3111 CO2 恒温培养箱 (Thermo 公司); mini protean 3 cell 电泳仪(BIO-RAD 公司); DHG-9023A 恒温烘箱 (上海恒一科学仪器有限公司); TE77XP 电转仪 (HOEFER 公司)等。

1.2 主要材料

Wistar 雄性大鼠,体重约 200g,购于昭衍(苏 州)新药研究中心有限公司,许可证号: SCXK(苏) 2023-0004。所有涉及动物使用的实验均按照苏州市 中医医院伦理委员会批准的实验方案进行(伦理批 号: 2020012)。所有大鼠饲养于苏州大学实验动物 中心, 许可证号: SYXK(苏) 2021-0065。所有大鼠 均在12小时光暗循环、室温23±2℃和湿度60±10% 的环境中饲养, 并应用标准大鼠饲料和蒸馏水以自 由饮食。吴门肾炎口服液 I 为苏州市中医医院医院 制剂(批号: 2201203),主要由党参,苍术,白术, 茯苓,蛇舌草,石韦,蜀羊泉,生薏苡仁,黄芩,车 前草, 益母草, 猪苓, 当归, 丹参, 川芎及辅料加工 浓缩而成,相当于 3.7g 生药·ml-1,成人日推荐剂量 为 30 ml, 根据动物实验要求进行相应的处理与应用 [10]; 盐酸贝那普利片(洛丁新),北京诺华制药有 限公司生产(货号: X2655); 盐酸阿霉素, 德国 Ruibio 生产(货号: 25316-40-9); 戊巴比妥钠, Sigma 公 司(批号: 20089104)。尿蛋白定量测定试剂盒,南 京建成生物工程研究所(货号: C035-2-1); 苏木素 伊红(HE)染色试剂盒(货号: C0105S)、透射扫 描电镜检测(服务编号: T3201)、miR-30-3p特异 性 miRNA 模拟物(货号: miR10004721-1-5), Invitrogen 公司; RIPA 组织细胞裂解液(货号: T8220),北京索莱宝科技有限公司; NC 膜(货号: HATF00010)、发光液(货号: WBKLS0100),美 国默克公司;兔克隆二抗(货号:D-3004),上海长 岛生物技术有限公司; Wnt 信号蛋白家族 1 (Wnt1) (货号: ab15251)、肾病蛋白 (Nephrin) (货号: ab216341)、β-连环蛋白 (β-catenin) (货号: ab223075)、β-actin (货号: ab227387), Abcam 公司; 足蛋白 (Podocin) (货号: PA5-79757), Invitrogen 公司。其他试剂均为市售分析纯。

2 方法

2.1 阿霉素诱导的足细胞损伤大鼠模型建立及 分组给药

大鼠在实验前适应性饲养 1 周后复制阿霉素肾 病大鼠模型:在实验的第1天和第8天,所有制模 大鼠通过尾静脉分别注射了 4 mg/kg 和 1 mg/kg 剂 量的阿霉素,总计建模剂量为 5mg/kg。实验第 14d 为模型复制完成(24 h 尿蛋白排泄定量≥50 mg·kg-1 为成功标准)。另外随机取8只大鼠设为空白组, 空白组尾静脉与模型组同步以同体积的剂量注射生 理盐水。根据上面的模型判定标准选出模型大鼠 24 只,随机分为模型组、西药组、中药组,每组8只。 模型组和空白组每日以等体积生理盐水灌胃给予; 西药组以洛丁新 (混悬液 0.9 mg·kg-1·d-1) 的剂量灌 胃;中药组以肾炎口服液 I 相当于 10 g 生药·kg-1·d-1的剂量灌胃,连续给药 4 W 后获取 24h 尿液,并 以安乐处死各组大鼠获取肾组织标本。根据尿蛋白 定量测试盒(CBB法)说明测定给药前后各实验组 大鼠 24h 尿蛋白总量;通过 HE 染色和透射电子显 微镜观察病理变化; 以及 Western blot 法检测 Nephrin 和 Podocin 的蛋白表达。

另取 24 只阿霉素肾病模型大鼠随机分为 3 组(n=8),模型组、miR-30b-3p 质粒(30mg·kg⁻¹·3d⁻¹)组和中药(肾炎口服液 I 相当于 10g 生药·kg⁻¹·d⁻¹)+ miR-30b-3p 质粒(30mg·kg⁻¹·3d⁻¹)组,同步设空白组(n=8),连续干预 4 W 后。对所有大鼠进行安乐死后,收集肾脏组织冻存备用,以 Western blot 法检测 Wnt1 会和 β -catenin 的蛋白表达。

2.2 病理光学显微镜和透射电子显微镜观察

将实验动物肾脏在 4 %多聚甲醛溶液中固定 24 h,随后进行石蜡包埋。从蜡块中切取 4 μm 厚的连续切片,用 HE 染色;此外,将肾皮质切成 1mm³ 并用 2.5 %戊二醛溶液固定 48h,然后用 PBS 洗涤 3 次。样品经 1.0 %锇酸钾溶液固定 1h,梯度丙酮脱水,包埋过夜,超薄切片分别用醋酸铀和碱性柠檬

酸铅染色 15 min。由病理科医生分别使用光学显微 镜和透射电子显微镜进行病理 Image 软件分析。

2.3 蛋白质印迹分析

应用 RIPA 缓冲液提取足细胞总蛋白,蛋白样品经 12 %十二烷基硫酸钠聚丙烯酰胺凝胶电泳 (SDS-PAGE)分离后转移至硝酸纤维素滤膜上。用5 %牛奶在 PBST (含 0.05 % Tween-20 的 PBS)中室温封闭 2h。将膜与一抗在 4°C孵育过夜。次日用 PBST 洗涤 3 次,加入二抗,室温孵育 2h。使用增强型化学发光试剂对目标蛋白质进行可视化。用 Image 软件对条带强度进行光密度定量分析。所有实验中的蛋白质免疫印迹杂交均至少重复 3 次,每次实验均有一个代表性的印迹结果。

2.4 数据统计分析

实验计量数据以均数±标准差($\bar{x}\pm s$)表示,采用 One-way ANOVA 进行多组间均数比较,采用 LSD 法进行两组间均数比较。所有数据均采用 Graphpad Prism 软件进行统计分析与绘图。以 P < 0.05 为差异有统计学意义。

3 结果

3.1 吴门肾炎口服液 I 改善阿霉素肾病大鼠的 足细胞损伤

为了证实肾炎口服液 I 在肾病中的保护作用, 笔者建立了阿霉素肾病大鼠模型,研究了空白组、 模型组、西药(洛丁新)组和中药(吴门肾炎口服液 I)组的大鼠肾脏病理改变、24h蛋白尿以及肾脏组 织中 Nephrin 和 Podocin 的表达情况。与空白组相 比,模型组可见明显的毛细血管充血、肾小球节段 肥大、肾小球系膜细胞增生和肾小球足细胞空泡化, 足突融合。经西药或中药治疗后,与模型组相比,大 鼠肾小球毛细血管袢开放良好,有效改善了阿霉素 诱导的肾脏毛细血管充血、系膜细胞增生和足突融 合。见图 1。给药干预前,与空白组相比,阿霉素注 射导致各组 24 h 蛋白尿定量显著增加(P < 0.001)。 经西药或中药治疗后,与模型组相比,2组24h蛋 白尿定量明显减少 (P < 0.05 或 P < 0.01)。见图 2。 给药干预后,与空白组相比,模型组肾脏组织中 Nephrin 和 Podocin 的蛋白表达显著降低(P<0.001 或 P < 0.01);与模型组相比,西药组与中药组能上 调 Nephrin 和 Podocin 蛋白的表达 (P < 0.05 或 P < 0.01)。见图 3 和图 4。以上结果提示: 吴门肾炎口

服液 I 可减轻阿霉素肾病大鼠肾脏病理损伤、减少24h 尿蛋白以及上调肾组织 Nephrin 和 Podocin 的蛋白表达,从而改善足细胞损伤。

3.2 吴门肾炎口服液 I 通过上调 miR-30b-3p 表达抑制阿霉素诱导的大鼠足细胞 Wntl 表达和 Wnt/β-catenin 信号通路活化

笔者团队早期的研究发现,miR-30b-3p 是治疗慢性肾脏病的潜在治疗靶点以及是一个可能影响Wntl 表达的上游调控因子。我们通过向阿霉素处理

的大鼠尾静脉注射 miR-30b-3p 过表达质粒,与空白组相比,模型组 Wnt1 和 β-catenin 的表达水平显著升高(P<0.001);与模型组相比,miR-30b-3p 过表达质粒注射组及肾炎口服液 I + miR-30b-3p 过表达质粒注射组的大鼠肾脏中 Wnt1、β-catenin 的表达水平明显下调(P<0.05 或 P<0.01),见图 5 和图 6。这些研究结果表明:miR-30b-3p 抑制 Wnt1 的表达并调控 Wnt/β-catenin 信号通路,这提示了肾炎口服液 I 对阿霉素诱导的足细胞损伤具有保护作用。

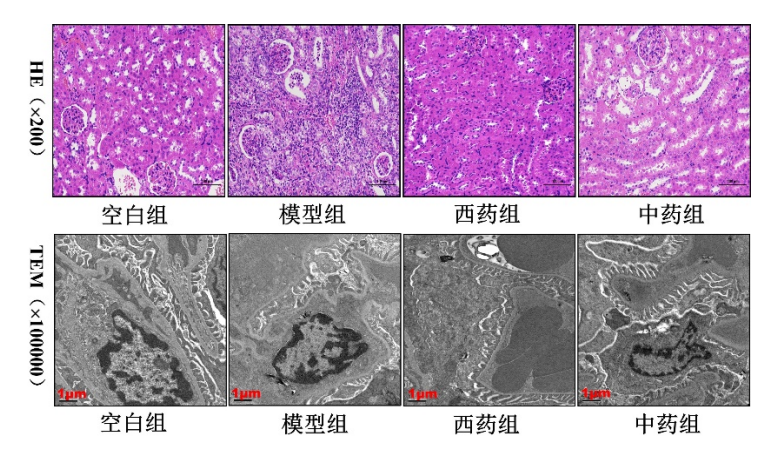


图 1 各组实验大鼠肾脏组织 HE、TEM 病理学观察比较

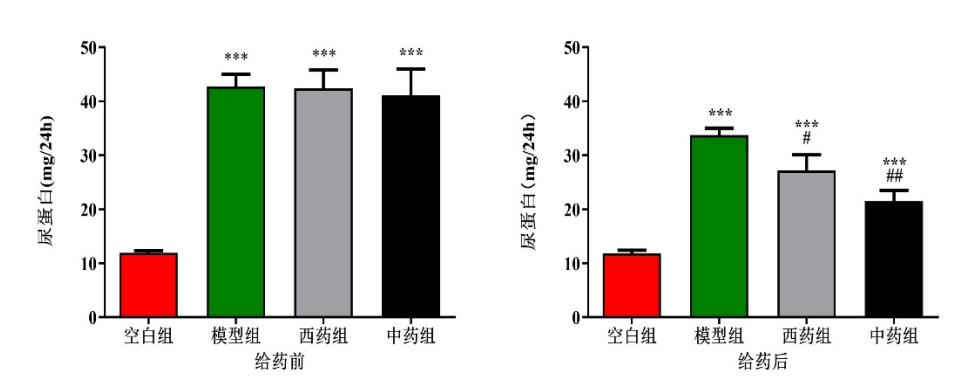


图 2 各组实验大鼠给药前后 24 蛋白尿定量比较(n=8, x±s)

注: *** 与空白组比较, P<0.001; # 与模型组比较, P<0.05; ## 与模型组比较, P<0.01。

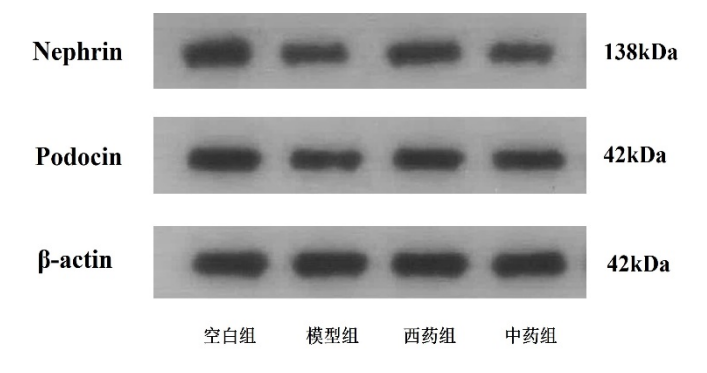


图 3 各组实验大鼠肾组织 Nephrin 和 Podocin 蛋白表达比较

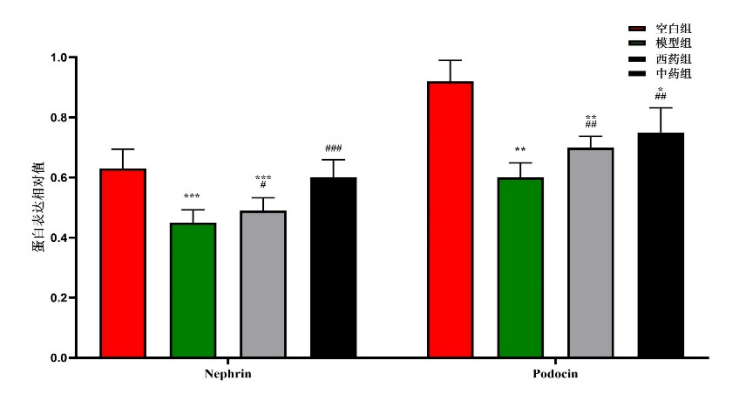


图 4 各组实验大鼠肾组织 Nephrin 和 Podocin 蛋白表达量比较(n=3, x±s)

注: * 与空白组比较,P < 0.05; ** 与空白组比较,P < 0.01; *** 与空白组比较,P < 0.001; # 与模型组比较,P < 0.05; ## 与模型组比较,P < 0.001

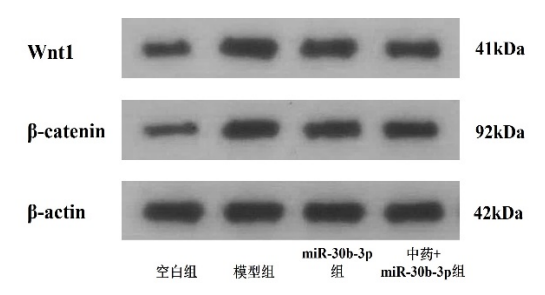


图 5 体内注射 miR-30b-3p 质粒对各实验组大鼠肾脏中 Wnt1、β-catenin 蛋白表达的影响

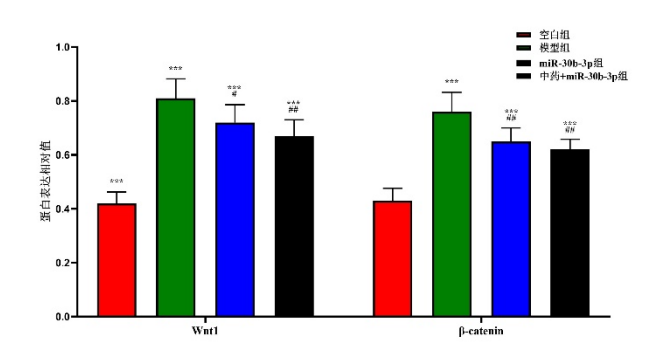


图 6 体内注射 miR-30b-3p 质粒对各实验组大鼠肾脏中 Wnt1、β-catenin 蛋白表达量的影响(n=3, $x\pm s$)注: *** 与空白组比较,P<0.001; # 与模型组比较,P<0.005; ## 与模型组比较,P<0.01。

4 讨论

在祖国医学中,CKD 可归属于"水肿"、"肾风"等讨论范畴,为本虚标实之证,其发病基础与脾肾功能失调相关,湿热、邪毒为疾病进展的重要因素。治疗以标本兼顾为原则,脾气虚者补其气为治其本,湿热蕴结者清利湿热为治其标^[11]。而肾炎口服液 I 即依此病机特点创制,方中以党参、苍术、白术、茯苓培补脾土,温运阳气,健脾化湿,如四君子汤之意;以蛇舌草、石韦、蜀羊泉清热解毒利湿;以生薏苡仁、黄芩、车前草清利三焦湿热;益母草活

血化瘀以利水湿;猪苓利湿不伤阴液;当归、丹参、川芎行气养血活血。诸药合用,攻补兼施,共秦健脾渗湿、活血清利之功效。在本研究中,笔者观察到了肾炎口服液 I 能改善阿霉素肾病大鼠的 24-蛋白尿,上调肾组织中 Nephrin 蛋白的表达,这证明了肾炎口服液 I 的足细胞保护作用。

足细胞是肾小球滤过膜的重要组成部分,足细胞损伤和修复的分子机制已成为肾脏病的研究热点 ^[12]。经典的 Wnt 信号转导通路 Wnt/β-catenin 对肾脏生长发育起着重要作用,正常机体肾脏中 Wnt 信号

是沉默的,当肾脏发生损伤时,足细胞 Wnt/β-catenin 信号通路也会被激活,足细胞中 β-catenin 的持续激活会导致蛋白尿和肾小球硬化^[13]。基于越来越多的证据表明 miRNAs 参与了 CKD 的病理生理过程,笔者团队的前期研究也发现了 miR-30b-3p 可能是CKD 治疗的潜在治疗靶点^[14]。在本研究中,笔者发现肾炎口服液 I 在阿霉素诱导的足细胞损伤体内模型中表现出保护作用,这种保护作用与降低大鼠足细胞 Wnt1 的表达和抑制 Wnt/β-catenin 信号通路有关,在阿霉素肾病大鼠尾静脉注射 miR-30b-3p 过表达质粒导致大鼠肾脏组织中 Wnt1 表达下调和 β-catenin 抑制与吴门肾炎口服液 I 组相当。提示了吴门肾炎口服液 I 和其它靶向 miR-30b-3p-Wnt1-Wnt/β-catenin 轴的治疗策略可能是减轻某些病理条件下肾脏损伤的有效方法。

综上所述,我们的研究结果表明吴门肾炎口服液 I 可能通过抑制 Wnt/β-catenin 信号通路的过度激活来保护足细胞。此外,吴门肾炎口服液 I 改善阿霉素诱导的足细胞功能障碍,其机制与增加足细胞 miR-30b-3p 表达,进而抑制 Wnt1 表达有关。尽管这些观点可能需要更多临床研究进一步来证实,但本研究仍然为开发针对 miR-30b-3p-Wnt1 轴和 Wnt/β-catenin 信号通路的治疗药物提供了重要的启示。

参考文献

- [1] 贺小娜,马欣,樊均明,等. 慢性肾脏病病人心血管疾病风险预测模型的研究进展[J]. 循证护理,2023,9(15):2757-2763.
- [2] Nagata M. Podocyte injury and its consequences[J]. Kidney Int,2016,89(6):1221-1230.
- [3] 李鑫,刘锐,蒙建华,等.Wnt/β-catenin 信号通路在肺纤维 化中的作用及中医药调控研究进展[J].中医药临床杂志,2024,36(01):182-187.
- [4] Mahtal N, Lenoir O, Tinel C, et al. Micrornas in kidney injury and disease[J]. Nat Rev Nephrol,2022,18(10):643-662.
- [5] Jiang CB, Wei MG, Tu Y, et al. Triptolide attenuates podocyte injury by regulating expression of mirna-344b-3p and mirna-30b-3p in rats with adriamycin-induced

- nephropathy[J]. Evid Based Complement Alternat Med,2015,2015:107814.
- [6] 陈伟,梁国强,蒋春波. 肾炎 1 号方治疗慢性肾炎大鼠的血清代谢组学研究[J]. 西北药学杂志,2023,38(03):49-53.
- [7] 蒋春波,於佳炜,林静,等. 肾炎 1 号方联合西药治疗肾病综合征疗效及对患者凝血指标、免疫功能的影响[J]. 陕西中医,2020,41(12):1743-1746.
- [8] 梁国强,徐夏莲,吉俊,等. 基于"自噬-炎症反应"探讨肾炎口服液 I 对阿霉素肾病大鼠的肾保护作用[J]. 中华中医药学刊,2019,37(11):2601-2605+2820-2821.
- [9] 蒋春波,宋永亮,许田俊,等. 肾炎 1 号口服液治疗慢性肾炎脾虚湿热证 35 例临床研究[J]. 江苏中医药,2015,47(10): 38-40.
- [10] Jiang C, Liang G, Ren Y, et al. An UPLC-MS/MS method for simultaneous quantification of the components of shenyanyihao oral solution in rat plasma[J]. Biomed Res Int,2020,2020:4769267.
- [11] 梁国强,倪道磊,周岚,等. 基于线粒体自噬途径探讨黄芪 甲苷对阿霉素肾病大鼠的肾保护作用[J]. 中华中医药 学刊,2022,40(09):35-39+264-265.
- [12] Gyarmati G, Jacob CO, Peti-Peterdi J. New endothelial mechanisms in glomerular (patho)biology and proteinuria development captured by intravital multiphoton imaging[J]. Front Med (Lausanne), 2021,8:765356.
- [13] Zhou D, Tan RJ, Fu H, et al. Wnt/β-catenin signaling in kidney injury and repair: a double-edged sword[J]. Lab Invest,2016,96(2):156-167.
- [14] Donderski R, Szczepanek J, Naruszewicz N, et al. Analysis of profibrogenic micrornas (mirnas) expression in urine and serum of chronic kidney disease (CKD) stage 1-4 patients and their relationship with proteinuria and kidney function[J]. Int Urol Nephrol, 2022, 54(4):937-947.

版权声明: ©2024 作者与开放获取期刊研究中心(OAJRC)所有。本文章按照知识共享署名许可条款发表。 https://creativecommons.org/licenses/by/4.0/

